

# 宇宙射线缪子成像比率算法进一步研究

文群刚

安徽大学 物理与材料科学学院

第九届全国先进气体探测器研讨会 东莞 2019 年 10 月 17 - 18 日

# 目录

- 1 引言
- 2 算法理论基础
- 3 PoCA 算法与比率算法
- 4 实验数据检验
- 5 小结与展望

# 引言

- ① 有兴趣，很好奇！

# 引言

- ① 有兴趣，很好奇！
- ② 有条件，有希望！

# 引言

- ① 有兴趣，很好奇！
- ② 有条件，有希望！
- ③ 有基础，能实现！

# 算法理论基础

宇宙线  $\mu$  子穿透物体时，会与物体的原子核发生多次小角度的库仑散射，因而当  $\mu$  子通过物质后，会产生一个累积的散射角  $\theta$ ，其分布近似满足均值为零的高斯分布

$$\frac{dN}{d\theta} = \frac{1}{\sqrt{2\pi}\sigma_\theta} \exp\left(-\frac{\theta^2}{2\sigma_\theta^2}\right) \quad (1)$$

角分布的标准误差为

$$\sigma_\theta = \frac{13.6\text{MeV}}{\beta c p} \sqrt{\frac{L}{L_0}} \left[1 + 0.038 \ln\left(\frac{L}{L_0}\right)\right] \quad (2)$$

其中  $p$  为动量，单位  $\text{MeV}c^{-1}$ ， $\beta c$  为其速度（ $\mu$  子应用中  $\beta c = 1$ ）， $L_0$  为材料辐射长度（当材料的原子序数  $Z$  增大时  $L_0$  减小）， $L$  为  $\mu$  子在物质中的迁移距离。

# 算法理论基础

现令

$$H = \frac{13.6\text{MeV}}{\beta c} \sqrt{\frac{L}{L_0}} \left[ 1 + 0.038 \ln \left( \frac{L}{L_0} \right) \right] \quad (3)$$

则式子 (2) 可写为

$$\sigma_{\theta}^2 = \frac{1}{p^2} H^2 \quad (4)$$

对于均值为零的标准误差可以通过下式

$$\sigma_{\theta}^2 = \frac{1}{N} \sum_{i=1}^N \theta_i^2 \quad (5)$$

由实验数据得到。其中  $\theta_i$  为实验数据中第  $i$  个事件测量得到的  $\mu$  子散射角， $N$  为总的实验数据测量事件数。

# 算法理论基础

对  $H$  为定值的物体进行实验测量，将  $N$  个实验数据按  $\mu$  子动量分为  $n$  组，其中动量  $p_1$  的散射角有  $\theta_{11}, \dots, \theta_{1k_1}$  共  $k_1$  个事件，动量  $p_2$  的散射角有  $\theta_{21}, \dots, \theta_{2k_2}$  共  $k_2$  个事件，依次则动量  $p_n$  的散射角有  $\theta_{n1}, \dots, \theta_{nk_n}$  共  $k_n$  个事件。由式子 (4)(5) 可得到每个动量对应的标准误差为

$$\sigma_1^2 = \frac{1}{k_1} \sum_{i=1}^{k_1} \theta_{1i}^2 = \frac{1}{p_1^2} H^2$$

$$\sigma_2^2 = \frac{1}{k_2} \sum_{i=1}^{k_2} \theta_{2i}^2 = \frac{1}{p_2^2} H^2$$

⋮

$$\sigma_n^2 = \frac{1}{k_n} \sum_{i=1}^{k_n} \theta_{ni}^2 = \frac{1}{p_n^2} H^2$$

# 算法理论基础

式子整理后，可得

$$\sigma_{\theta}^2 = \frac{1}{N} \sum_{i=1}^N \theta_i^2 = \sum_{i=1}^n \frac{k_i}{N} \cdot \frac{1}{p_i^2} H^2 \quad (6)$$

其中  $\frac{k_i}{N}$  为实验数据中  $\mu$  子动量为  $p_i$  的几率。当实验数据  $N$  较大时，实验数据的  $\mu$  子动量分布合乎自然界分布时，

$$\sum_{i=1}^n \frac{k_i}{N} \cdot \frac{1}{p_i^2}$$

可近似为一个常数  $A$ ，因此当实验数据  $N$  较大时， $\mu$  子散射角度标准误差与物体材质相关的  $H$  值呈线性关系。

# PoCA 算法与比率算法

当实验数据  $N$  较大时,

$$\sigma_{\theta}^2 = \frac{1}{N} \sum_{i=1}^N \theta_i^2 = AH^2$$

其中  $A$  为常数,

$$H = \frac{13.6\text{MeV}}{\beta c} \sqrt{\frac{L}{L_0}} \left[ 1 + 0.038 \ln \left( \frac{L}{L_0} \right) \right]$$

从实验数据得到散射角的标准误差, 从而实现  $\mu$  子成像的算法就是我理解的 PoCA 算法。

# PoCA 算法与比率算法

所谓比率算法就是将选择的探测单元格内所有测量到的  $\mu$  子事件数计为  $N$ ，其中散射角度在  $[-\theta_0, \theta_0]$  范围内的事件数计为  $N_c$ ，并用下式

$$R = \frac{N_c}{N}$$

从实验上得到该探测单元格的比率值  $R$ ，这个比率值实质上是标准误差  $\sigma_\theta$  的高斯函数定积分（或然误差函数）

$$R(\sigma_\theta) = \frac{1}{\sqrt{2\pi}\sigma_\theta} \int_{-\theta_0}^{\theta_0} \exp\left(-\frac{\theta^2}{2\sigma_\theta^2}\right) d\theta$$

因此，通过实验上比率值  $R$  也可以区分  $\sigma_\theta$ ，进而区分物质材料的原子序数  $Z$ ，从而实现数据的成像。

# PoCA 算法与比率算法

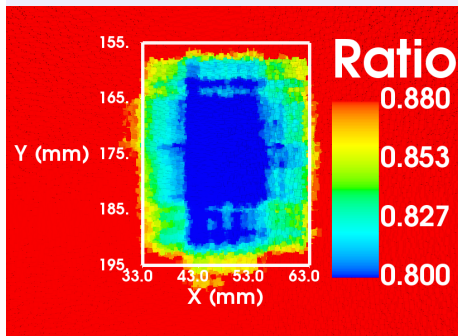
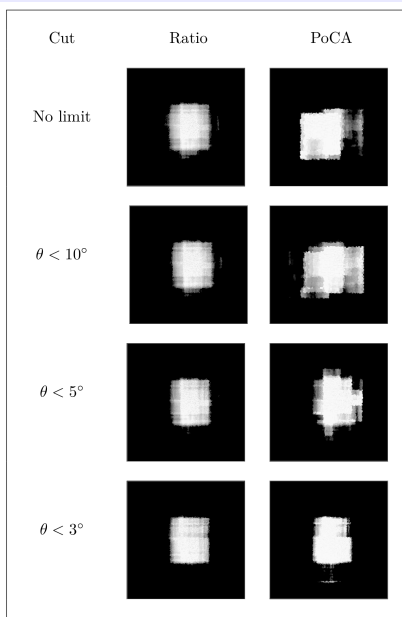
## PoCA 算法的特点

算法结果与  $\sigma_\theta$  是线性关系，有利于成像结果。但算法对散射角的平方进行求和，因此该算法对大角度事件敏感，大角度的干扰事件会破坏最终的成像效果。

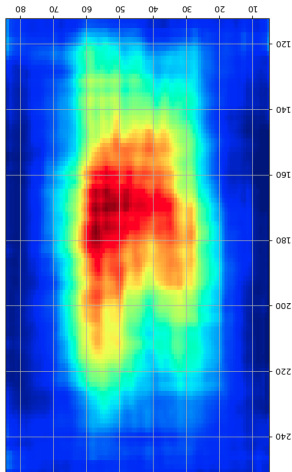
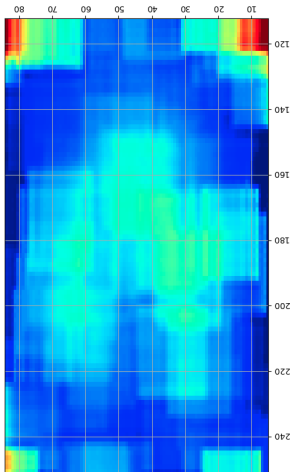
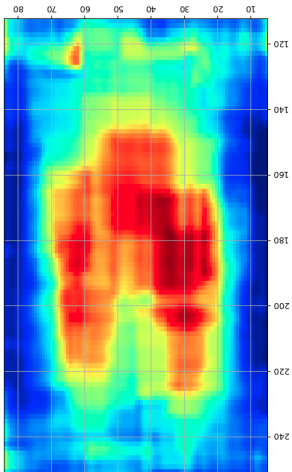
## 比率算法的特点

算法对于所有的散射角都是平等对待，因而能较好地避免大角度干扰事件对成像结果的破坏。但是算法结果与  $\sigma_\theta$  是非线性关系，这会使成像结果有比较大的失真。

# 实验数据检验



# 实验数据检验



# 小结与展望

- ①  $\mu$  子成像时，使用的单元格内实验数据的动量分布基本合乎自然分布时（即单元格内的实验数据量较大时），动量的影响不必要考虑。
- ② PoCA 算法对大角度干扰事件敏感，但有效事件成像结果失真度小；比率算法对大角度干扰事件不敏感，但有效事件成像结果失真度较大。
- ③ 进一步研究 PoCA 算法与比率算法的结合使用的算法。
- ④ 争取更多的实验数据对算法可靠性进行检验，进一步探索  $\mu$  子快速成像的可行性。

## 小结与展望

- ①  $\mu$  子成像时，使用的单元格内实验数据的动量分布基本合乎自然分布时（即单元格内的实验数据量较大时），动量的影响不必要考虑。
- ② PoCA 算法对大角度干扰事件敏感，但有效事件成像结果失真度小；比率算法对大角度干扰事件不敏感，但有效事件成像结果失真度较大。
- ③ 进一步研究 PoCA 算法与比率算法的结合使用的算法。
- ④ 争取更多的实验数据对算法可靠性进行检验，进一步探索  $\mu$  子快速成像的可行性。

严重感谢国家重点实验室对本研究的资助  
(SKLPSE-KF-201912)!

謝 謝

群剛

